

Построение карты связности функциональных групп в задаче декодирования сигналов головного мозга

Вареник Наталия

Московский физико-технический институт
Физтех-школа прикладной математики и информатики
Кафедра интеллектуальных систем

Научный руководитель: д.ф.-м.н. В.В. Стрижов

Москва, 2022

Задача: Построить модель анализа активности головного мозга, учитывающую пространственную структуру сигналов.

Мозг представляет собой динамическую систему, в которой информация постоянно обрабатывается и передается в другие взаимосвязанные регионы. Группы активности составляют сложную сеть с иерархической пространственной и функциональной организацией.

Проблема: Из-за отсутствия регулярности структуры сигнала на сферической поверхности мозга CNN не могут быть эффективно применены для учета пространственной информации.

Решение: Предлагается рассмотреть графовое представление сигналов для учета функциональных взаимосвязей различных частей мозга в пространстве. Такое представление обоснованно нерегулярной структурой физической и функциональной связи различных областей мозга.

Исследуются методы построения карты связности электродов для ее последующего использования графовой моделью GCN.

Детерминированные методы оценки связи сигналов

- *Sakkalis V., Tsiaras V., Tollis I.* Assessment of Linear and Nonlinear Synchronization Measures for Analyzing EEG. // Journal of Healthcare Engineering, 2010

Моделирование последовательностей пространственной структуры

- *Ruiz, L., Gama, F., & Ribeiro, A.* Gated Graph Recurrent Neural Networks. // IEEE Transactions on Signal Processing, 2020
- *Seo Y., Defferrard M., Vandergheynst P., Bresson X.* Structured Sequence Modeling with Graph Convolutional Recurrent Networks. // Neural Information Processing, 2018

Постановка задачи построения карты связности

$\underline{\mathbf{X}} = [\mathbf{X}_m]_{m=1}^M$, $\mathbf{X}_m \in \mathbb{R}^{E \times N}$ — исходный сигнал, N — число отсчетов времени, E — число электродов, M — число испытаний.

Дополнительно известна матрица координат электродов $\mathbf{Z} \in \mathbb{R}^{E \times 3}$.

Рассмотрим ненаправленный динамический граф:

$$\mathcal{G}(m, t) = \left(\mathcal{V}(m, t), \mathcal{E}(m, t), \mathbf{A}_{\underline{\mathbf{X}}, \mathbf{Z}}(m, t) \right),$$

в котором $\mathcal{V}(m, t)$ есть множество электродов, множество ребер $\mathcal{E}(m, t)$ и их веса определяются из матрицы связности $\mathbf{A}_{\underline{\mathbf{X}}, \mathbf{Z}}(m, t)$.

Требуется найти функцию:

$$\mathbf{A}_{\underline{\mathbf{X}}, \mathbf{Z}}(m, t) : M \times T' \rightarrow \mathbb{R}_+^{E \times E}, \quad T' \subseteq T, \quad T = \{t_n\}_{n=1}^N.$$

Постановка задачи декодирования

Данные сигналов: $\underline{\mathbf{X}} = [\mathbf{X}_m]_{m=1}^M$, $\mathbf{X}_m = [\mathbf{x}_t]_{t \in T}$, $\mathbf{x}_t \in \mathbb{R}^E$, $T = \{t_n\}_{n=1}^N$, где N — число отсчетов времени, $E = 62$ — число электродов, M — число испытаний;

Координаты электродов: $\mathbf{Z} = [\mathbf{z}_k]_{k=1}^E$, $\mathbf{z}_k \in \mathbb{R}^3$;

Целевая переменная: $\mathbf{y} = [y_m]_{m=1}^M$, $y_m \in \{1, \dots, C\}$, C — число классов.

Априорный штраф за плотность матрицы:

$$\underline{\mathbf{A}}_{\underline{\mathbf{X}}, \mathbf{Z}}^* = \arg \min_{\underline{\mathbf{A}}_{\underline{\mathbf{X}}, \mathbf{Z}}} \left| \|\underline{\mathbf{A}}_{\underline{\mathbf{X}}, \mathbf{Z}}\|_1 - p \right|, \quad p \text{ — степень разреженности.}$$

Рассматривается класс графовых рекуррентных нейронных сетей:

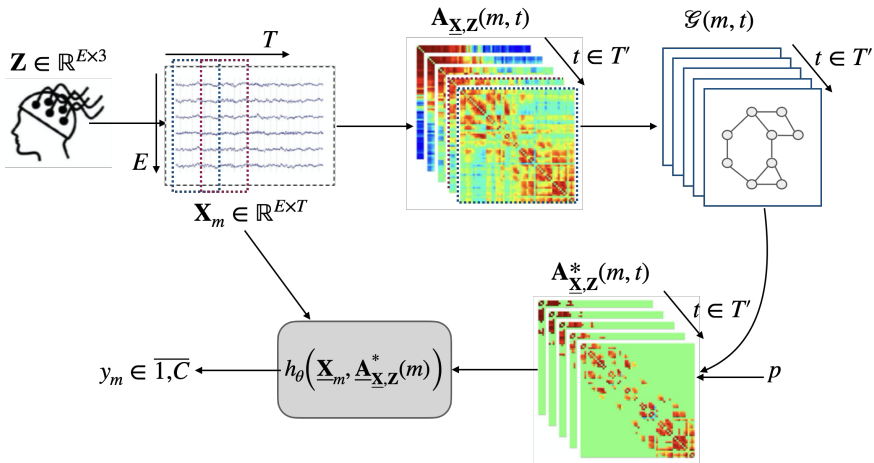
$$h_{\theta} : (\underline{\mathbf{X}}, \underline{\mathbf{A}}_{\underline{\mathbf{X}}, \mathbf{Z}}^*) \rightarrow \mathbf{y}.$$

Функция ошибки — кросс-энтропия:

$$\mathcal{L} = -\frac{1}{M} \sum_{m=1}^M \left[\sum_{c=1}^C \mathbb{1}(y_m = c) \log(p_m^c) \right], \quad \text{где } p_m^c = h_{\theta}(\mathbf{X}_m, \underline{\mathbf{A}}_{\underline{\mathbf{X}}, \mathbf{Z}}^*(m)).$$

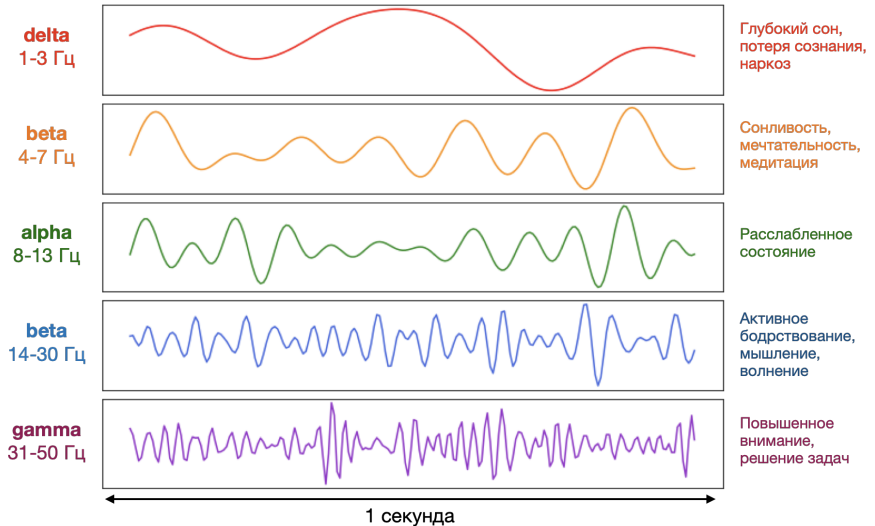
Внешний критерий качества: точность.

Графовое представление сигнала



Построение и использование графовой структуры

Частотные полосы мозговой активности



Физическое расстояние и линейная корреляция

Обозначим $\mathbf{x} = \mathbf{x}_{mi}$ и $\mathbf{y} = \mathbf{x}_{mj}$ строки матрицы \mathbf{X}_m соответствующие сигналам в отрезке времени $[t_n - T_w, t_n]$ в m -ом испытании для i и j электрода с координатами $\mathbf{z}_i, \mathbf{z}_j$.

Евклидово расстояние: ввиду постоянства координат электродов положим $d_{ij}(m, t) = d_{ij}$, где

$$d_{ij} = \|\mathbf{z}_i - \mathbf{z}_j\|_2^2, \quad i, j \text{ — номера электродов,}$$

$$\mathbf{A}_{\underline{\mathbf{x}}, \underline{\mathbf{z}}}^*(m, t) = [a_{ij}] \in \mathbb{R}_+^{E \times E}, \quad a_{ij} = \begin{cases} d_{ij}, & \text{если } d_{ij} \leq \rho(p) \\ 0, & \text{иначе.} \end{cases}$$

Линейная корреляция Пирсона:

$$\tilde{r}_{ij}(m, t_n) = \frac{\sum_{k=t_n-T_w}^{t_n} (x_k - \bar{\mathbf{x}})(y_k - \bar{\mathbf{y}})}{\sqrt{\sum_{k=t_n-T_w}^{t_n} (x_k - \bar{\mathbf{x}})^2 \sum_{k=t_n-T_w}^{t_n} (y_k - \bar{\mathbf{y}})^2}}, \quad r_{ij}(m, t_n) = |\tilde{r}_{ij}(m, t_n)|,$$

$$\mathbf{A}_{\underline{\mathbf{x}}, \underline{\mathbf{z}}}^*(m, t) = [a_{ij}(m, t)] \in \mathbb{R}_+^{E \times E}, \quad a_{ij}(m, t) = \begin{cases} r_{ij}(m, t), & \text{если } r_{ij}(m, t) \geq \rho(p) \\ 0, & \text{иначе.} \end{cases}$$

Спектральная когерентность

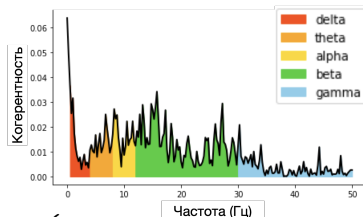
Обозначим $\mathbf{x} = \mathbf{x}_{mi}$ и $\mathbf{y} = \mathbf{x}_{mj}$ строки матрицы \mathbf{X}_m соответствующие сигналам в отрезке времени $[t_n - T_w, t_n]$ в m -ом испытании для i и j электрода. Тогда:

$$\gamma_{ij}(m, t_n, f) = \frac{|S_{xy}(t_n, f)|^2}{S_{xx}(t_n, f)S_{yy}(t_n, f)},$$

$S_{xx}(t_n, f), S_{xy}(t_n, f)$ — авто и кросс – спектральная функции плотности.

Рассмотрим частотную полосу $[f_1, f_2]$:

$$\gamma_{ij}(m, t_n) = \int_{f_1}^{f_2} \gamma_{ij}(m, t_n, f) df,$$



$$\mathbf{A}_{\underline{\mathbf{x}}, \underline{\mathbf{z}}}^*(m, t) = [a_{ij}(m, t)] \in \mathbb{R}_+^{E \times E}, \quad a_{ij}(m, t) = \begin{cases} \gamma_{ij}(m, t), & \text{если } \gamma_{ij}(m, t) \geq \rho(p) \\ 0, & \text{иначе.} \end{cases}$$

Частично направленная когерентность

Обозначим $\mathbf{x}_m(t) = [x_{m1}(t), \dots, x_{mE}(t)]^T$ набор одновременно наблюдаемых временных рядов в отрезке времени $[t_n - T_w, t_n]$ в m -ом испытании.

Векторная регрессионная модель порядка q :

$$\mathbf{x}_m(t) = \sum_{k=1}^q \mathbf{W}_k \mathbf{x}_m(t-k) + \mathbf{b}(t), \quad b(t) \in \mathcal{N}(\mathbf{0}, \mathbf{S}).$$

Строится преобразование Фурье матрицы коэффициентов:

$$\mathbf{W}(f) = \sum_{k=1}^q \mathbf{W}_k e^{-i2\pi fk}, \quad \text{где } f \text{ — частота.}$$

Тогда:

$$\pi_{j \rightarrow i}(m, t_n, f) = \frac{\frac{1}{\sigma_i} |\overline{\mathbf{W}}_{ij}(f)|}{\sqrt{\sum_{k=1}^q \frac{1}{\sigma_k^2} \overline{\mathbf{W}}_{kj}(f) \overline{\mathbf{W}}_{kj}^H(f)}}, \quad \overline{\mathbf{W}}(f) = \mathbf{I} - \mathbf{W}(f), \quad \sigma_i^2 = \mathbf{S}_{ii},$$

$$\pi_{ij}(m, t_n) = \frac{1}{2} \left(\int_{f_1}^{f_2} \pi_{i \rightarrow j}(m, t_n, f) df + \int_{f_1}^{f_2} \pi_{j \rightarrow i}(m, t_n, f) df \right), \quad [f_1, f_2] \text{ — частота.}$$

Мера синхронизации фаз

Обозначим $x(t)$, $y(t)$ динамические системы, соответствующие наблюдениям сигнала x_{mi} и x_{mj} в отрезке времени $[t_n - T_w, t_n]$ в m -ом испытании.

Две динамические системы могут иметь синхронизацию фаз, даже если их амплитуды независимы. Синхронизация фаз понимается как:

$$|\phi_x(t) - \phi_y(t)| = \text{const.}$$

Аналитическое представление сигнала:

$$H(t) = x(t) + i\tilde{x}(t), \text{ где } \tilde{x}(t) \text{ — преобразование Гильберта } x(t).$$

Фаза аналитического сигнала:

$$\phi(t) = \arctan\left(\frac{\tilde{x}(t)}{x(t)}\right).$$

Тогда для двух сигналов равной продолжительности:

$$p_{ij}(m, t_n) = \left| \frac{1}{T_w} \sum_{k=1}^{T_w} \exp(s(\phi_x(k\Delta t) - \phi_y(k\Delta t))) \right|, \text{ где}$$

$$\Delta t \text{ — шаг по времени, } s = \sqrt{-1}.$$

Модель GCN LSTM

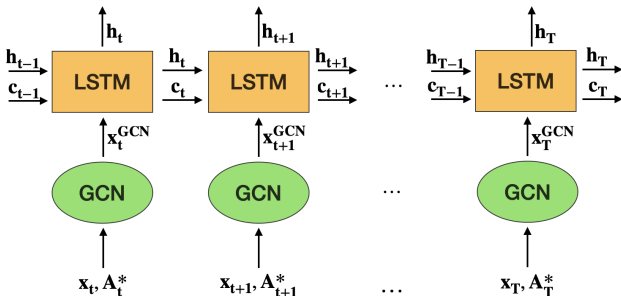
Опустим номер испытания m и обозначим в момент времени t :

$$\mathcal{G}(m, t) = \mathcal{G}_t, \mathcal{V}(m, t) = \mathcal{V}_t, \mathcal{E}(m, t) = \mathcal{E}_t,$$

$$\mathbf{A}_{\underline{X}, \underline{Z}}^*(m, t) = \mathbf{A}_t^*, \mathbf{x}_{mt} = \mathbf{x}_t \text{ — } t\text{-й столбец матрицы } \mathbf{X}_m.$$

$$\mathbf{x}_t^{GCN} = \text{GCN}(\mathbf{x}_t) = g_\eta *_{\mathcal{G}_t} \mathbf{x}_t = g_\eta(\mathbf{L}_t^*) \mathbf{x}_t = \sum_{k=0}^{K-1} \eta_k T_k(\tilde{\mathbf{L}}_t^*) \mathbf{x}_t, \tilde{\mathbf{L}}_t^* = 2\mathbf{L}_t^* / \lambda_t^{\max} - \mathbf{I},$$

$\mathbf{L}_t^* \in \mathbb{R}^{E \times E}$ — матрица Лапласа, $T_k(\tilde{\mathbf{L}}_t^*)$ — полином Чебышева.



Итоговая модель декодирования

Вычислительный эксперимент

Гипотеза: Учет пространственной и функциональной структуры сигнала улучшает качество модели декодирования.

Цели:

- 1 Построить матрицы связей электродов рассматриваемыми методами,
- 2 Оценить качество работы пространственно – временной модели на основе полученных матриц.

Данные: Выборка SEED по распознаванию эмоций. В качестве стимулов использовались отрывки видео, вызывающие определенные эмоциональные отклики (позитивный, негативный или нейтральный). ЭЭГ сигнал измерялся 62 электродами, частота дискретизации 200 Hz.

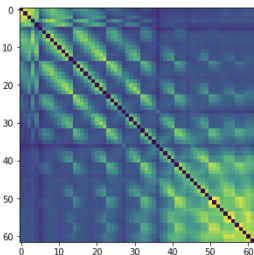
Признаки: дифференциальная энтропия в 5 частотных диапазонах delta (1 – 3Гц), theta (4 – 7Гц), alpha (8 – 13Гц), beta (14 – 30Гц), gamma (31 – 50Гц):

$$DE(X) = - \int_{-\infty}^{\infty} \frac{1}{\sqrt{2\pi\sigma^2}} e^{-\frac{(x-\mu)^2}{2\sigma^2}} \log \left(\frac{1}{\sqrt{2\pi\sigma^2}} e^{-\frac{(x-\mu)^2}{2\sigma^2}} \right) dx,$$

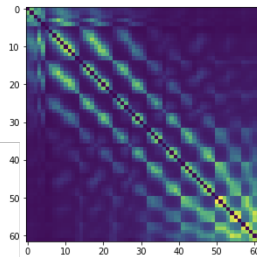
$X \in \mathcal{N}(\mu, \sigma^2)$ — временной ряд.

Результаты оценки матрицы связности

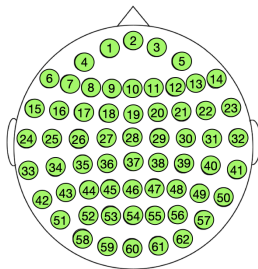
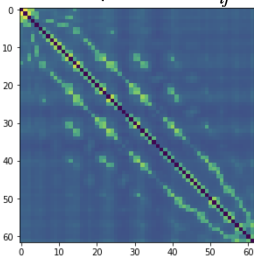
Корреляция Пирсона r_{ij}



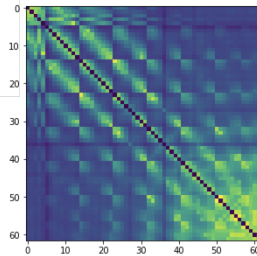
Когерентность γ_{ij}



Частично направленная когерентность π_{ij}



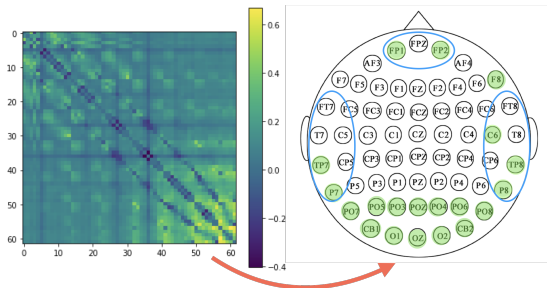
Синхронизация фаз p_{ij}



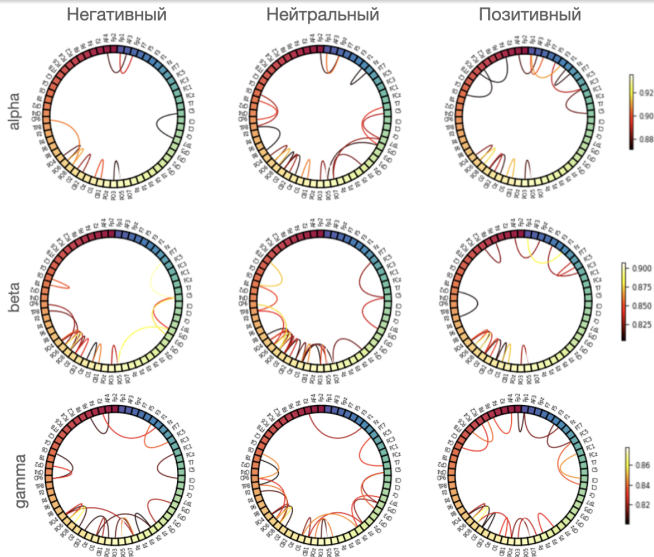
Результаты декодирования сигналов

Модель	Точность	Потери
LSTM	0.869 ± 0.010	0.268 ± 0.014
GCN LSTM: d_{ij}	0.894 ± 0.013	0.220 ± 0.012
GCN LSTM: r_{ij}	0.914 ± 0.011	0.183 ± 0.009
GCN LSTM: γ_{ij}	0.898 ± 0.010	0.214 ± 0.013
GCN LSTM: π_{ij}	0.898 ± 0.007	0.213 ± 0.012
GCN LSTM: p_{ij}	0.925 ± 0.008	0.173 ± 0.014

Разница наилучшей матрицы связности с базовой и соответствующие электроды, синим выделены целевые области ответственные за эмоциональные состояния:

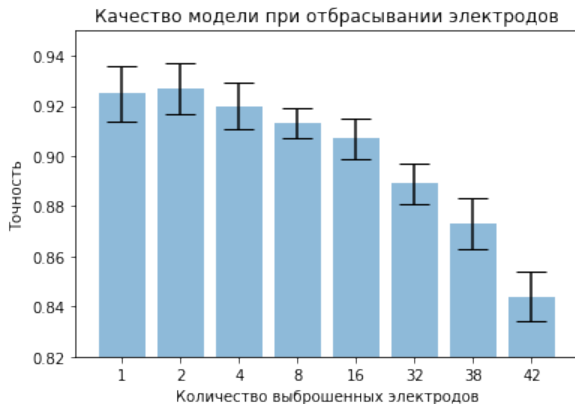


Нейробиологическая интерпретация



Zheng W. L. et al. Identifying stable patterns over time for emotion recognition from EEG
Saarimaki H. et al. Discrete neural signatures of basic emotion

Применение к определению эффективного набора электродов



Видна избыточность исходного набора электродов, можно сделать вывод о возможности исключения $\sim 25\%$ электродов при небольшой петере в качестве декодирования.

- 1 Исследовано графовое представление сигнала, построена динамическая графовая структура.
- 2 Проведено сравнение различных методов оценки карты связности.
- 3 Предложена графово – рекуррентная модель для решения задачи декодирования.
- 4 Показана целесообразность использования информации о пространственной и функциональной структуре сигнала.
- 5 Проведена нейробиологическая интерпретация.
- 6 Рассмотрено применение графовой структуры к отбору эффективного набора электродов.